

## استفاده از روش Real-Time PCR روی نمونه‌های آمنیوسيت برای تشخیص پیش از تولد نشانگان داون

فهیمه شاهرخی<sup>۱</sup>، سید مجتبی محدث اردبیلی<sup>۲</sup>، زهرا فردی‌آذر<sup>۳</sup>، احمد درضا کامیاب<sup>۴</sup>، المیرا شمسیان<sup>۵</sup>، مینا حیات‌نوسیعید<sup>۶</sup>، زهرا کائینی‌مقدم<sup>۶</sup>، رضا مهدیان<sup>۶\*</sup>

۱- کارشناسی ارشد، گروه ژنتیک انسانی، دانشکده پزشکی، دانشگاه علوم پزشکی تبریز، تبریز، ایران

۲- دکتری، گروه ژنتیک پزشکی، دانشکده پزشکی، دانشگاه علوم پزشکی تبریز، تبریز، ایران

۳- استادیار، گروه زنان و مامایی، دانشکده پزشکی، دانشگاه علوم پزشکی تبریز، تبریز، ایران

۴- کارشناس ارشد، گروه ژنتیک انسانی، انتیتو پاستور ایران، تهران، ایران

۵- کارشناس ارشد، گروه پزشکی مولکولی، انتیتو پاستور ایران، تهران، ایران

۶- استادیار، گروه بیوتکنولوژی پزشکی، انتیتو پاستور ایران، تهران، ایران

دریافت مقاله: ۸۸/۰۸/۰۳  
پذیرش مقاله: ۸۸/۰۶/۰۵

### چکیده

هدف: این مطالعه به منظور بررسی امکان تشخیص نشانگان داون پیش از تولد با روش Real-Time PCR انجام شد. در این راستا، تعیین روش مناسب برای تخلیص DNA از نمونه‌های آمنیوسيت برای دستیابی به DNA با کیفیت بالا نیز مورد توجه قرار گرفت.

مواد و روش‌ها: ابتدا زنان بارداری که در غربالگری از طریق سنجش نشانگرهای بیوشیمیایی و سونوگرافی خطر بالای ابتلای جنین به نشانگان داون را داشتند، به مرکز آمنیوستز معرفی شده و از مایع آمنیوتيک آن‌ها نمونه‌گیری شد. تخلیص DNA از ۵۹ نمونه مایع آمنیوتيک با روش‌های مختلف انجام شد که این روش‌ها شامل روش جوشاندن، روش رسوب‌دهی با نمک، دستورالعمل استخراج DNA از خون و بافت با کیت DNP<sup>TM</sup> DNA Isolation Kit for cells and tissues (سیناژن)، دستورالعمل استخراج DNA از سلول با کیت (Roche) MagNa Pure DNA Isolation و کیت (Roche) دستورالعمل استخراج DNA از بافت با کیت (Qiagen) QIAamp DNA Micro ارزنده است. سپس کیفیت و کمیت نمونه‌های تخلیص شده به‌وسیله دستگاه اسپکتروفوتومتر نانودرایپ NanoDrop® ND-1000 ارزیابی شد. واکنش Real-Time PCR با استفاده از رنگ سایبرگرین I (Applied Biosystems, UK) به منظور تکثیر اختراعی ژن‌های DSCAM و DYSK1A2 و ژن PMP22 روی نمونه‌های تخلیص شده انجام شد. آنالیز داده‌ها با استفاده از روش مقایسه‌ای چرخه آستانه برای تعیین میزان ژنی و تعیین تعداد نسخه‌های کروموزوم ۲۱ صورت گرفت.

نتایج: این بررسی نشان داد که DNA استخراج شده از نمونه‌های مایع آمنیوتيک با استفاده از کیت QIAamp DNA Micro دارای کمیت و کیفیت مطلوب است. تکثیر اختراعی ژن‌های هدف و مرجع انجام و تفاوت گروه طبیعی و گروه مبتلا براساس اختلاف در چرخه آستانه مشخص شد.

\*نشانی مکاتبه: تهران، میدان پاستور، انتیتو پاستور ایران، بخش پزشکی مولکولی، صندوق پستی: ۱۶۶۷-۱۳۱۸۵  
Email: rezamahdian@yahoo.com

نتیجه‌گیری: تشخیص پیش از تولد با روش Real-Time PCR روی نمونه‌های DNA تخلیص شده از سلول‌های مایع آمنیوتیک با استفاده از کیت Qiagen امکان‌پذیر است. نتایج حاصل با نتایج مشابه حاصل از روش‌های متداول سیتوژنیک قابل مقایسه است.

کلیدواژگان: تشخیص پیش از تولد، Real-Time PCR، نشانگان داون، تخلیص DNA، نانودرآپ

## ۱ - مقدمه

(Short Tandem Repeat-PCR) یک روش انتخابی برای تشخیص مولکولی تریزوومی ۲۱ است. مزایای این روش عبارتند از عدم نیاز به کشت سلولی، استفاده از مقادیر کم مایع آمنیوتیک، آسان و سریع بودن این روش تشخیصی. نقطه ضعف اصلی روش‌های مبتنی بر STR-PCR، امکان وقوع اشتباه در تشخیص پیش از تولد با استفاده از این روش‌ها است [۹].

Real-Time PCR یکی از روش‌های مولکولی است که می‌تواند در تشخیص نشانگان داون به کار گرفته شود. از این روش می‌توان به عنوان یک روش سریع، دقیق و حساس در تشخیص پیش از تولد نشانگان داون استفاده کرد تا از میزان بروز این ناهنجاری و هزینه‌های اجباری ایجاد شده در این راستا کاست. سیستم Real-Time PCR مبتنی بر سنجش کمی نسخه‌های ژنی از طریق سنجش میزان نور فلورسنت در طول مرحله تصاعدی از واکنش PCR است. در این سیستم از یک رنگ فلورسنت ویژه متصل‌شونده به DNA نظری سایبرگرین I (SYBR Green I) استفاده می‌شود که تنها پس از اتصال به DNA دو رشته‌ای، علامت (Signal) فلورسنت قوی منتشر می‌کند [۱۰، ۱۱]. این رنگ فلورسنت طی واکنش، متناسب با میزان محصولات تولید شده از هر چرخه، نور فلورسنت ساطع کرده و میزان نشر فلورسانس آن توسط نمایانگر دستگاه شناسایی و ثبت می‌شود. داده‌های اولیه حاصل از انجام Real-Time PCR می‌توانند با استفاده از روش مقایسه‌ای چرخه آستانه ( $C_t$ ) (Threshold Cycle:  $C_t$ ) بررسی شوند. چرخه آستانه ( $C_t$ ) چرخه‌ای است که در آن افزایش

نشانگان داون (Down Syndrome) (تریزوومی ۲۱) یکی از ناهنجاری‌های کروموزومی شایع در بین نوزادان بوده و از علل عمده عقب‌ماندگی ذهنی محسوب می‌شود [۱، ۲]. وجود یک نسخه اضافی از کروموزوم شماره ۲۱ انسانی موجب تغییرات آسیب‌شناسختی ناشی از بیان غیرطبیعی ژن‌های مستقر بر این کروموزوم می‌شود [۳]. خطر بالای ابتلای جنین به نشانگان داون، معمول‌ترین دلیل برای تشخیص پیش از تولد است. از سوی دیگر در غربالگری و تشخیص پیش از تولد، تشخیص نشانگان داون با بالاترین درجه دقت و حساسیت ضرورت دارد [۴]. در حال حاضر با استفاده از روش‌های غربالگری ابتدا خانم‌های بارداری که در معرض خطر بیشتر ابتلای جنین به نشانگان داون قرار دارند مشخص می‌شوند که پس از آن از روش‌های سیتوژنیکی و مولکولی برای تشخیص قطعی ابتلای یا عدم ابتلای جنین در بارداری‌های پرخطر استفاده می‌شود [۵]. روش‌های استاندارد سیتوژنیکی و سیتوژنیک (Fluorescent In Situ Hybridization: FISH) مولکولی روش‌هایی هستند که به صورت معمول برای تشخیص نشانگان داون استفاده می‌شوند. روش‌های سیتوژنیکی بسیار دقیق بوده و در ۹۹ درصد موارد تشخیص این اختلال و سایر اختلالات کروموزومی امکان‌پذیر می‌شود، ولی این روش آزمایشگاهی زمان‌بر بوده و تشخیص پیش از تولد ناهنجاری‌های کروموزومی ۷ تا ۲۲ روز وقت می‌گیرد [۶]. با استفاده از روش FISH امکان تشخیص سریع نشانگان داون وجود دارد ولی این روش‌ها نیز پرهزینه بوده و نیاز به سلول زنده و STR-PCR مهارت تکنیکی است [۷، ۸]. روش مبتنی بر

## ۲- مواد و روش‌ها

### ۱-۲- نمونه‌گیری و استخراج DNA

در طرح حاضر، زنان بارداری که در غربالگری از طریق سنجش نشانگرهای شیمیایی AFP،  $\beta$ -hCG free و  $\beta$ -hCG اولیه DNA ژنومی متناسب است [۱۲]. با توجه به سرعت، حساسیت و قدرت تشخیصی بالای Real-Time PCR، این سیستم به عنوان روشی مناسب برای تشخیص پیش از تولد نشانگان داون پیشنهاد شده است [۴].

از آن جایی که این روش دارای دقت و حساسیت بالای است، بنابراین DNA نمونه‌های تخلیص شده، باید علاوه بر کمیت مناسب، کیفیت مطلوبی نیز داشته باشند تا بتوان نمونه‌ها را بهوسیله دستگاه Real-Time PCR ارزیابی کرد. با توجه به وجود پروتئین زیاد و تعداد کم سلول‌های جنینی در مایع آمنیوتیک، تخلیص DNA از آن مشکل بوده و نیاز به استفاده از یک روش مناسب و بهینه است تا بتوان علاوه بر غلظت بالا، کیفیت مطلوبی را بدست آورد. بهمنظور تعیین کمیت و کیفیت NanoDrop® DNA از دستگاه اسپکتروفوتومتر نانودرایپ ND-1000 استفاده می‌شود که علاوه بر غلظت DNA، میزان خلوص و کیفیت مولکول DNA تخلیص شده را نیز تعیین می‌کند. دستگاه نانودرایپ می‌تواند مقادیر کم نمونه را با دقت و حساسیت بالا اندازه‌گیری کند. این اطلاعات از طریق جذب نوری (Optical Density: OD) در طول موج‌های ۲۶۰، ۲۳۰ و ۲۸۰ نانومتر به دست می‌آید. بهطور کلی اسیدهای نوکلئیک (DNA و RNA) در طول موج ۲۶۰ نانومتر و پروتئین‌ها در ۲۸۰ نانومتر بیشترین OD را دارند. OD زیاد در طول موج ۲۳۰ نانومتر نشان‌دهنده آلدگی با بافرهای استخراج DNA یا سایر مواد غیرآلی است. از این رو سنجش DNA تخلیص شده با محاسبه نسبت OD ۲۶۰/۲۸۰ و ۲۶۰/۲۳۰ صورت می‌گیرد.

برای داشتن نمونه‌هایی با کیفیت مطلوب، عدد حاصل از نسبت OD ۲۶۰/۲۸۰ و ۲۶۰/۲۳۰ بایستی بین ۱/۷ تا ۱/۹ باشد. اگر عدد حاصل از نسبت OD ۲۶۰/۲۸۰، ۲۶۰/۲۳۰، پایین‌تر از ۱/۷ باشد نشانگر آلدگی با پروتئین، و اگر بالاتر از ۱/۹ باشد بیانگر آلدگی با RNA است [۱۳].

### ۲-۲- Real-Time PCR

واکنش PCR Real-Time در دستگاه ABI 7300 (Applied Biosystems, Sequence Detection Systems) انجام شد. درون هر چاهک از پلیت ۹۶ خانه‌ای مخلوطی به حجم ۲۵ میکرولیتر متشکل از ۱۲/۵ میکرولیتر مخلوط اصلی سایبرگرین (SYBR Green Master Mix)، ۲ میکرولیتر از آغازگرهای Applied Biosystems, UK)

موجود در پایگاه داده‌های Gene Bank در سایت اینترنتی <http://www.ncbi.nlm.nih.gov> و با استفاده از نرم‌افزارهای Primer Express و Gene Runner نسخه ۳/۰ (Applied Biosystems, Foster City CA) طراحی شد (جدول ۱). برای بررسی عملکرد و ویژگی آغازگرها، واکنش‌ها به صورت دوتایی (Duplicate) به همراه یک واکنش بدون الگو (NTC) برای هر ژن انجام شد. سپس برای تعیین غلظت بهینه واکنش رقت‌های متوالی برای آغازگرها صورت گرفت. بهینه‌سازی و تنظیم غلظت برای آغازگرهای ژن‌های DYRK1A2، DSCAM، PMP22 و DYRK1A2 در پلیت DNA ژنومی به صورت سه‌تایی (Triplet) در پلیت Real-time PCR انجام شد و شب خط منحنی استاندارد مربوط به ژن‌های نامبرده تعیین شد. سپس واکنش برای ژن‌های هدف و مرجع در نمونه‌های داون و طبیعی به صورت سه‌تایی و همزمان در پلیت ۹۶ چاهکی انجام گرفت و میانگین چرخه‌های آستانه ( $C_t$ ) برای هر ژن محاسبه شد. براساس چرخه‌های آستانه به دست آمده از نمونه‌های جنینی مبتلا به داون و طبیعی و قرار دادن آن‌ها در فرمول‌های  $\Delta\Delta C_t$  و  $2^{-\Delta\Delta C_t}$ ، نسبت میزان ژن‌های هدف و مرجع با یکدیگر مقایسه شد.

(Primers) اختصاصی هر ژن، ۴ میکرولیتر از DNA ژنومی و ۶/۵ میکرولیتر آب مقطر تهیه شد. برنامه زمانی و دمایی واکنش انجام شده در دستگاه Real-Time PCR مدل 7300 ABI در سه مرحله عبارت است از:

مرحله اول در یک چرخه به منظور فعال‌سازی آنزیم *Taq* پلی‌مراز شروع داغ (Hot start *Taq* polymerase) اولیه DNA الگو با دمای ۹۵ درجه سانتی‌گراد به مدت ۱۰ دقیقه، مرحله دوم به صورت متناوب در طول ۴۰ چرخه با دمای ۹۵ درجه سانتی‌گراد به مدت ۱۵ ثانیه و ۶۰ درجه سانتی‌گراد به مدت ۱ دقیقه انجام شد. در مرحله سوم، به منظور رسم منحنی تفکیک یک چرخه با دمای ۹۵ درجه سانتی‌گراد به مدت ۱۵ ثانیه، ۶۰ درجه سانتی‌گراد به مدت ۱۵ ثانیه و ۹۵ درجه سانتی‌گراد به مدت ۱۵ ثانیه، اعمال شد. در این مرحله کاهش دما از ۹۵ درجه سانتی‌گراد به ۶۰ درجه سانتی‌گراد با سرعت ۰/۰۳ درجه سانتی‌گراد بر ثانیه انجام شد و حدوداً ۲۰ دقیقه طول کشید. پس از اتمام مرحله سوم، منحنی‌های تکثیر و تفکیک با استفاده از نرم‌افزار SDS ABI 7300 آنالیز شد.

در این مطالعه، ژن‌های DYRK1A2 و DSCAM به عنوان ژن هدف روی کروموزم ۲۱ و ژن PMP22 به عنوان ژن مرجع روی کروموزم ۱۷ انتخاب شدند. آغازگرهای الیگونوکلئوتیدی برای این سه ژن براساس توالی

جدول ۱ توالی آغازگرها طراحی شده برای ژن‌های هدف و مرجع

نام ژن	نوع الگو	ترتیب توالی	دماهای ذوب (درجه سانتی‌گراد)	درصد GC	طول آغازگر (جفت باز)
DSCAM	جلویی	5'-CCGGGCAGTCTAATTCCAGAAC-3'	۶۰/۸	۵۵	۲۲
DSCAM	برگشتی	5'-AGTATGTGCACTCAGAAACCAGCTG-3'	۶۰/۷	۴۸	۲۵
DYRK1A	جلویی	5'-AATGGTGTGCACAGGATGTGAAC-3'	۶۰/۷	۴۸	۲۳
DYRK1A	برگشتی	5'-ATTCCGGTGAAACAAGTCATGAAG-3'	۶۰/۲	۴۲	۲۴
PMP22	جلویی	5'-GGAGGAGAGAAGGCTTGAATGC-3'	۶۰/۳	۵۵	۲۲
PMP22	برگشتی	5'-GTTCCACATGCACACAGAACG-3'	۶۰/۰	۵۰	۲۲

رسوب دهی با نمک به علت عدم امکان تخلیص DNA Isolation Kit for DNA، نمونه‌های تخلیص شده با MagNa Pure DNA (Roche) و کیت MagNa Pure DNA cells and tissues (Roche) Isolation در ارزیابی با روش Real-Time PCR به کار گرفته نشدن.

### ۳- نتایج

#### ۳-۱- نتایج حاصل از ارزیابی کمیت و کیفیت

##### ۳-۱-۱- استخراج شده با دستگاه نانودرایپ

با توجه به نتایج حاصل از ارزیابی نمونه‌ها با دستگاه نانودرایپ (جدول ۲)، نمونه‌های تخلیص شده با روش

جدول ۲ ارزیابی نمونه‌های تخلیص شده با روش‌های مختلف به وسیله نانودرایپ

روش استخراج DNA	تعداد نمونه (n)	غلظت (نانوگرم در هر میکرولیتر)	جذب نوری ۲۶۰/۲۸۰	جذب نوری ۲۶۰/۲۸۰	جذب نوری ۲۶۰/۲۳۰
روش جوشاندن	۱۰	۱۳۸/۲	۱/۰		۰/۲۹
روش رسوب دهی با نمک	۲	-			
دستورالعمل استخراج DNA از بافت با کیت DNP™ (سیناژن) با اضافه شدن آنزیم پروتئاز و پروتئاز بافر	۱	۳۸/۱	۳/۱	۰/۰۹	
دستورالعمل استخراج DNA از بافت با کیت DNP™ (سیناژن) با افزایش میزان آنزیم پروتئاز و پروتئاز بافر	۱	۴۰	۱/۶	۰/۱۴	
دستورالعمل استخراج DNA از بافت با کیت DNP™ (سیناژن) با افزایش میزان آنزیم پروتئاز و پروتئاز بافر و انکوبه کردن نمونه به مدت ۲ ساعت در دمای ۵۵ درجه سانتی گراد	۱	۲۹/۱	۱/۸	۰/۷۱	
روش استخراج DNA از سلول با Isolation Kit for cells and tissues (Roche)	۲	۱/۳	۰/۹۳	۰/۱۹	
روش استخراج DNA از بافت با کیت (Roche) MagNa Pure DNA Isolation	۲	۱۷/۷	۰/۶۶	۰/۰۵	
کیت (Qiagen) QIAamp DNA Micro	۴۰	۱۳/۰۶	۱/۸	۱/۵	

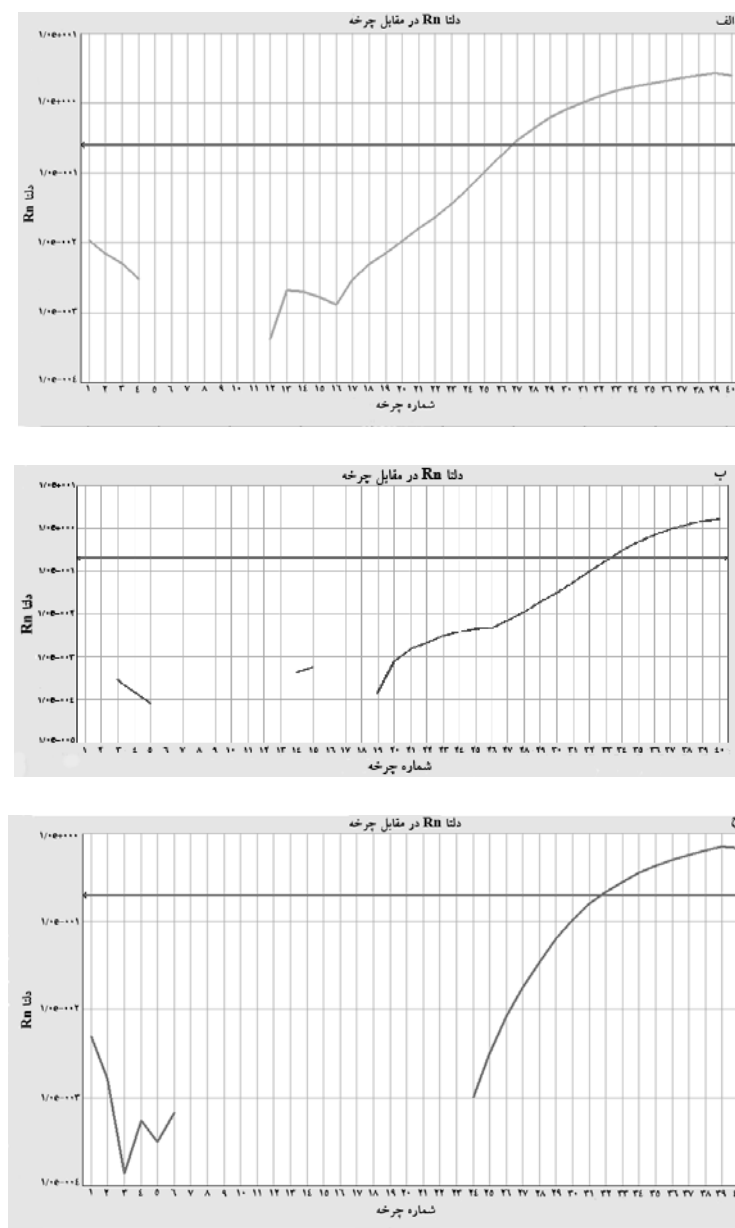
شده با کیت DNP™ (سیناژن) و روش جوشاندن در چرخه‌های ۳۱-۳۲ است، در حالی که  $C_t$  برای این ژن‌ها در نمونه‌های تخلیص شده با کیت QIAamp DNA Micro (Qiagen) در چرخه ۲۵ است (شکل‌های ۱-۳). این موضوع نشان‌دهنده کیفیت بسیار خوب DNA تخلیص شده با این روش است. به عبارتی دیگر کیفیت عملکرد تکثیر در غلظت‌های مساوی از DNA تا  $2^5$  برابر بهبود یافته است. همچنین به واسطه

#### ۳-۲- مقایسه نتایج Real-Time PCR حاصل از نمونه‌های تخلیص شده با روش جوشاندن، کیت QIAamp DNA Micro (سیناژن) و کیت DNP™ (Qiagen)

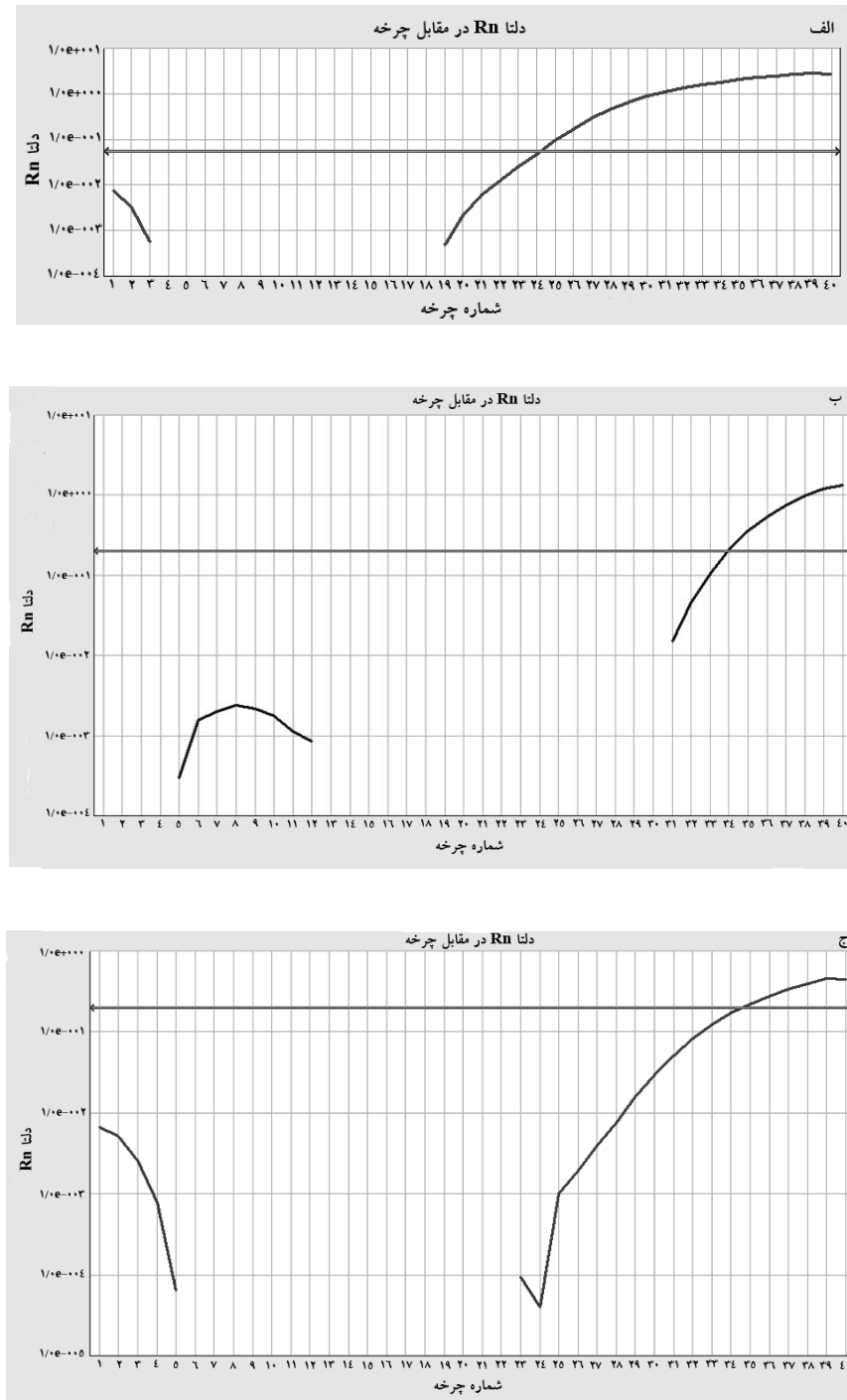
حاصل از Real-Time PCR برای ژن‌های PMP22 و DSCAM، DYRK1A2

سیستم به صورت یک قله (Peak) نمایش داده می‌شود. نتایج به دست آمده از آنالیز منحنی ذوب در این مطالعه نشان می‌دهد که محصول هر سه ژن به صورت اختصاصی و فاقد محصولات غیراختصاصی نظیر آغازگر دایمر است (شکل ۴).

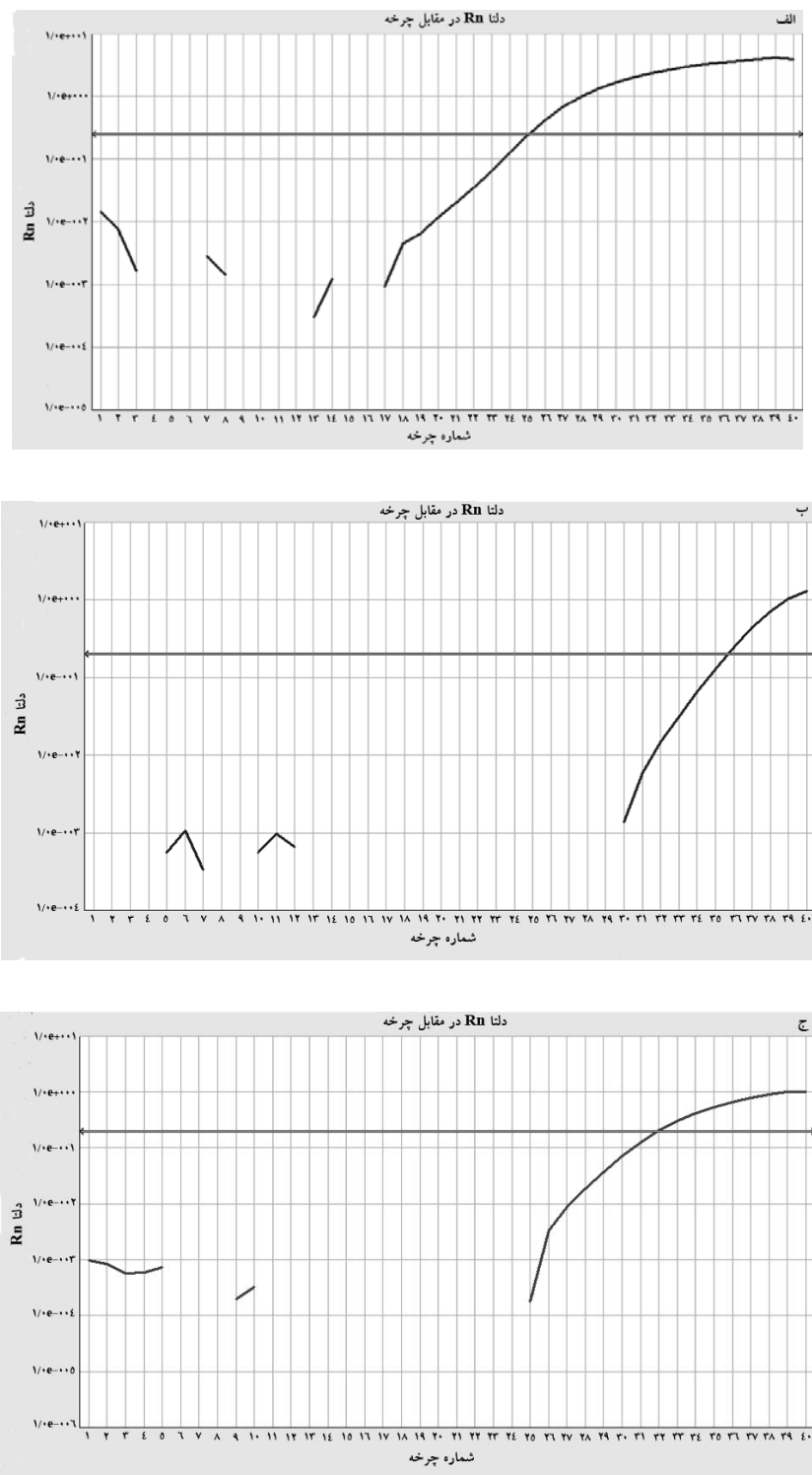
تغییرات دمایی که در آنالیز منحنی ذوب (Dissociation curve) صورت می‌پذیرد، هر قطعه DNA دو رشته‌ای موجود در محصول براساس طول و محتوای بازه‌ای CG در دمای ذوب اختصاصی خود، تک رشته‌ای شده و این تغییر حالت توسط



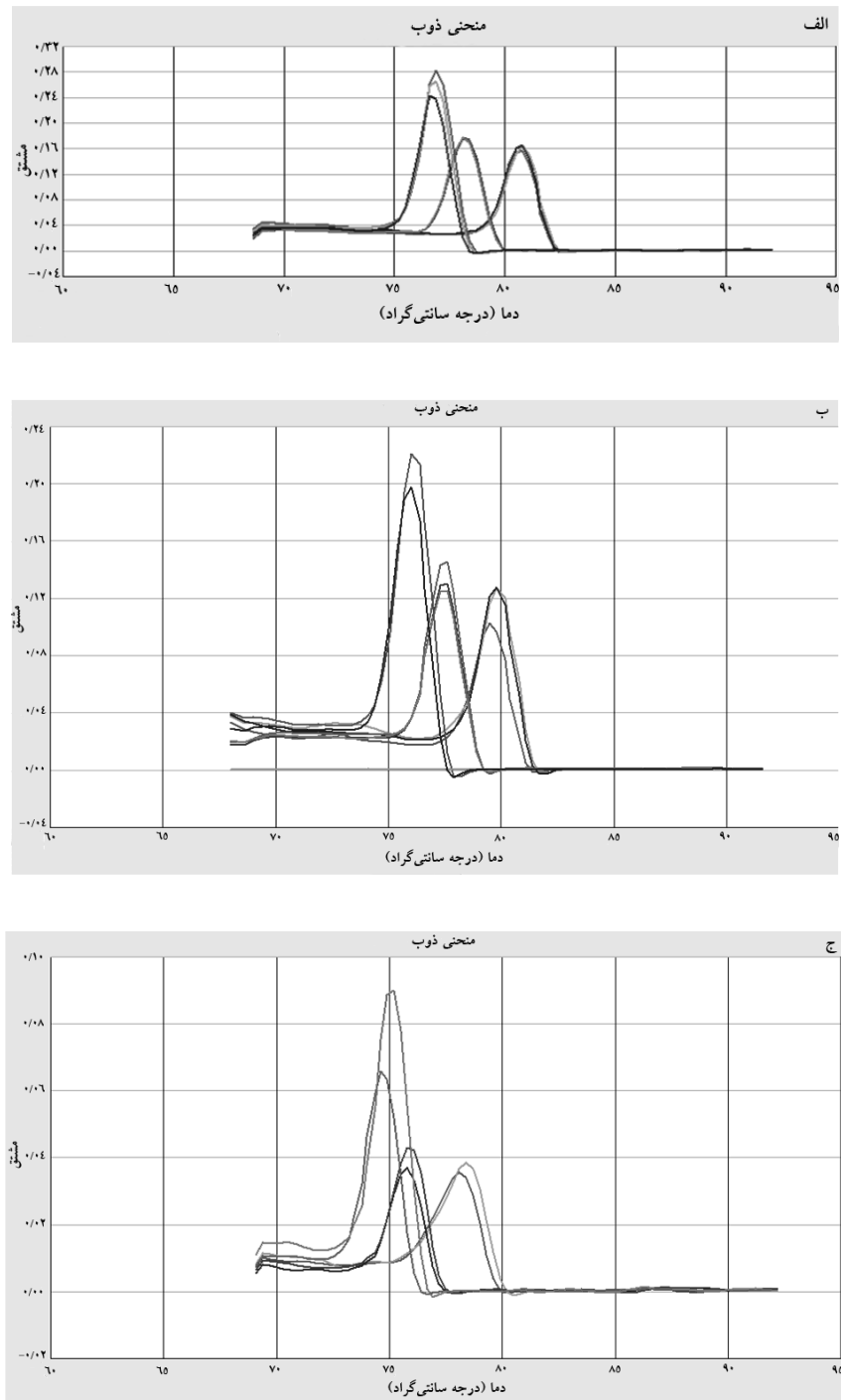
شکل ۱ (الف) Ct ژن DSCAM نمونه تخلیص شده با کیت QIAamp DNA Micro (Qiagen) (چرخه آستانه ۲۶ و ۶۷)، (ب) Ct ژن DSCAM نمونه تخلیص شده با روش جوشاندن (چرخه آستانه ۳۳ و ۴۸)، (ج) Ct ژن DSCAM نمونه تخلیص شده با کیت DNP<sup>TM</sup> (سیناژن) (چرخه آستانه ۳۳ و ۴۸)



شکل ۲ (الف) ژن DYSRK1A2 Ct نمونه تخلیص شده با کیت QIAamp DNA Micro (Qiagen) (چرخه آستانه ۲۴ و ۶۷)، (ب) ژن DYSRK1A2 Ct نمونه تخلیص شده با روش جوشاندن (چرخه آستانه ۱۲ و ۳۴)، (ج) ژن DYSRK1A2 Ct نمونه تخلیص شده با کیت DNP<sup>TM</sup> (سیناژن) (چرخه آستانه ۳۴ و ۶۲)



شكل ۳ (الف) Ct ژن PMP22 نمونه تخلیص شده با کیت QIAamp DNA Micro (Qiagen) (چرخه آستانه ۱۳ و ۲۵)، (ب) Ct ژن PMP22 نمونه تخلیص شده با روش جوشاندن (چرخه آستانه ۳۵ و ۸۴)، (ج) Ct ژن PMP22 نمونه تخلیص شده با کیت DNP<sup>TM</sup> (سیناژن) (چرخه آستانه ۲۷ و ۳۲)



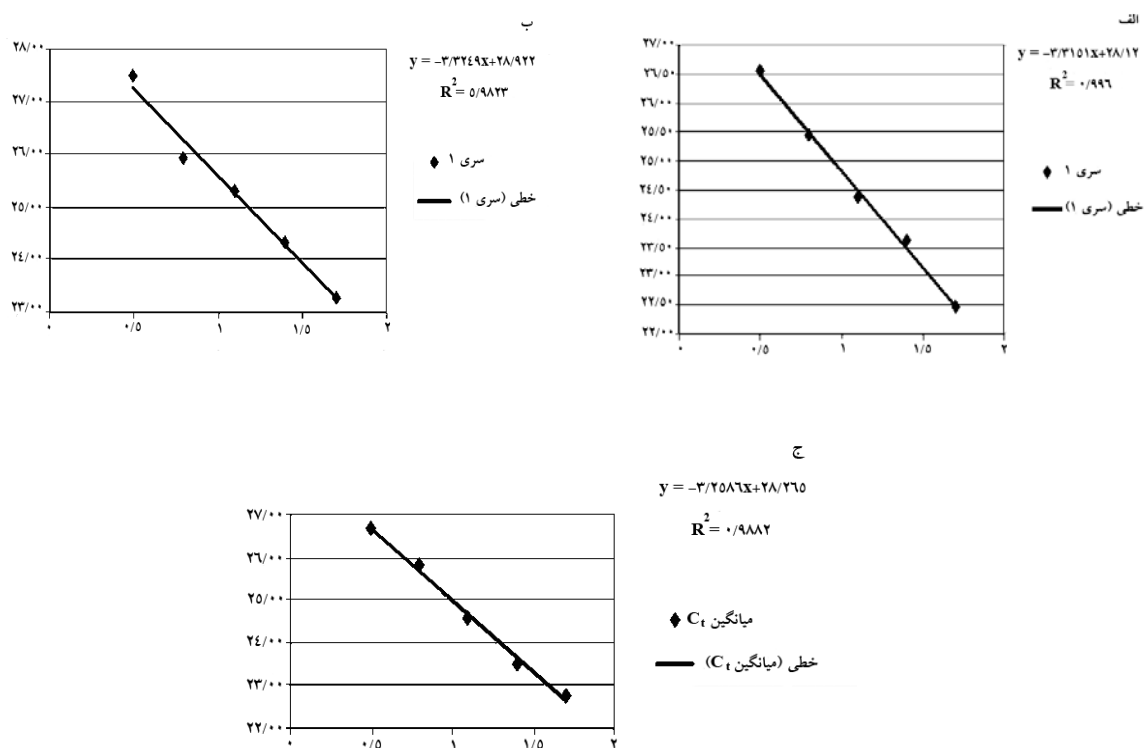
شکل ۴ (الف) آنالیز منحنی ذوب برای ژن‌های PMP22 و DYRK1A2، DSCAM در نمونه‌های تخلیص شده با کیت QIAamp DNA Micro (Qiagen)، (ب) آنالیز منحنی ذوب برای ژن‌های PMP22 و DYRK1A2، DSCAM در نمونه‌های تخلیص شده با روش جوشاندن، (ج) آنالیز منحنی ذوب برای ژن‌های PMP22 و DYRK1A2، DSCAM در نمونه‌های تخلیص شده با کیت DNP<sup>TM</sup> (سیناژن)

DYRK1A2 برابر ۳/۳۲۴ (شکل ۵-ب) و برای ژن PMP22 برابر ۳/۲۵۸ به دست آمد (شکل ۵-ج). با توجه به نتایج حاصل از نمودار منحنی استاندارد، کارایی واکنش برای هریک از ژنهای DYRK1A2، DSCAM و PMP22 به صورت زیر محاسبه شد:

$$\begin{aligned} \text{DSCAM PCR ژن} &= \text{کارایی واکنش PCR ژن} - 1 = 10^{(-1/-2.315)} \\ \text{درصد} &= 100 \times 100 = 100 \\ \text{DYRK1A2 PCR ژن} &= \text{کارایی واکنش PCR ژن} - 1 = 10^{(-1/-2.324)} \\ \text{درصد} &= 100 \times 99/100 = 99 \\ \text{PMP22 PCR ژن} &= \text{کارایی واکنش PCR ژن} - 1 = 10^{(-1/-2.358)} \\ \text{درصد} &= 100 \times 100 = 100 \end{aligned}$$

### ۳-۳- رسم منحنی استاندارد و محاسبه کارایی واکنش تکثیر

پس از پایان آزمایش، در بیشتر نرم‌افزارها منحنی استاندارد برای هر کدام از ژن‌ها به صورت نموداری روی محور XY ترسیم می‌شود. در این نمودار لگاریتم مقدار نمونه الگو روی محور Xها و چرخه آستانه ( $C_t$ ) روی محور Yها قرار دارد؛ در نمودارهای منحنی استاندارد بایستی شبی خط به دست آمده بین ۶-۳/۱ تا ۳/۶ باشد که در مطالعه حاضر برای هر سه ژن در این محدوده قرار داشت. شبی خط منحنی استاندارد برای ژن DSCAM برابر ۳/۳۱۵ (شکل ۵-الف)، برای ژن



شکل ۵ (الف) نمودار منحنی استاندارد ژن DSCAM که با برنامه Excel ترسیم شده است (Y=mX+b). چرخه آستانه = Y، شبی خط = Y=mX+b، ضریب ثابت = b، ضریب ثابت  $R^2$  نیز بایستی در نظر گرفته شود. (ب) نمودار منحنی استاندارد ژن DYRK1A2 که با برنامه Excel ترسیم شده است (Y=mX+b). چرخه آستانه = Y، شبی خط = Y=mX+b، ضریب ثابت = b، عرض از مبدا = m، لگاریتم مقدار نمونه الگو = Y، عرض از مبدا = b، ضریب ثابت  $R^2$  نیز بایستی در نظر گرفته شود. (ج) نمودار منحنی استاندارد ژن PMP22 که با برنامه Excel ترسیم شده است (Y=mX+b). چرخه آستانه = Y، شبی خط = Y=mX+b، لگاریتم مقدار نمونه الگو = Y، عرض از مبدا = b، ضریب ثابت  $R^2$  نیز بایستی در نظر گرفته شود.

۱/۱ و در نمونه‌های مبتلا به نشانگان داون در محدوده ۱/۴۰ - ۱/۹۵ قرار داشت (جدول ۳). بهمنظور بالا بردن دقت آزمایش، از نسبت‌های مربوط به دو ژن هدف میانگین گرفته شد و از این میانگین به عنوان مبنای تفکیک نمونه‌های طبیعی از مبتلا استفاده شد که باعث محدودتر شدن دامنه تغییرات نسبت‌ها به (۱/۱ - ۰/۹۵) در نمونه‌های طبیعی و (۰/۸ - ۱/۴۰) در نمونه‌های مبتلا به تریزوتمی ۲۱ شد. سپس در نمونه‌های آزمایش شده با Real-Time PCR میانگین نسبت ژنی و میزان انحراف از استاندارد (SD)، تعیین شد. با استفاده از نرم‌افزار Excel و با انجام آنالیز آماری t-test (P value = ۰/۰۲) تفاوت معنی‌داری به دست آمد (جدول ۴).

### ۳-۴- آنالیزها و محاسبات آماری برای تشخیص

#### پیش از تولد نشانگان داون در نمونه‌های جنینی

پس از محاسبه میانگین چرخه‌های آستانه ( $C_t$ ) برای هر سه ژن،  $\Delta C_t$  مطابق با فرمول: «(ژن مرجع) -  $C_t$ » هدف( $\Delta C_t = C_t - \Delta C_{t\text{ref}}$ )،  $\Delta C_t = C_t - \Delta C_t$  مطابق با فرمول: «(نمونه مورد آزمایش) -  $\Delta C_t$ » و نسبت ژنی به وسیله فرمول: « $\frac{\Delta C_t}{\Delta C_{t\text{ref}}} = \frac{\Delta C_t}{\Delta C_{t\text{ref}}} \times 100$ » محاسبه و امکان تفکیک نمونه‌های جنینی طبیعی و داون فراهم شد. نتایج حاصل از سه آزمایش مستقل در ۳ جنین مبتلا به نشانگان داون و ۳ جنین طبیعی در جدول ۳ نمایش داده شده است. این نسبت در نمونه‌های طبیعی در محدوده

جدول ۳ مقایسه نتایج آنالیزها و محاسبات آماری برای تشخیص پیش از تولد در نمونه‌های جنینی طبیعی و مبتلا به نشانگان داون

میانگین	نسبت	$-\Delta C_t$	طبیعی		ناشناخته		نمونه مبتلا به نشانگان داون - ۱
			PMP22	هدف	PMP22	هدف	
۱/۴۷	۱/۵۲	۰/۶۰	۲۷/۴۲	۲۷/۵۷	۲۶/۲۵	۲۵/۸۰	DSCAM
	۱/۴۱	۰/۵۰	۲۷/۴۲	۲۸/۳۳	۲۶/۲۵	۲۶/۶۶	DYRK1A2
میانگین		$-\Delta \Delta C_t$	طبیعی		ناشناخته		نمونه مبتلا به نشانگان داون - ۲
۱/۵۹			PMP22	هدف	PMP22	هدف	
	۱/۶۵	۰/۷۲	۲۷/۴۲	۲۷/۵۷	۲۴/۲۱	۲۳/۶۴	DSCAM
۱/۷۶	۱/۵۳	۰/۶۱	۲۷/۴۲	۲۸/۳۳	۲۴/۲۱	۲۴/۵۱	DYRK1A2
	۱/۹۱	۰/۹۳	۲۷/۴۲	۲۷/۵۷	۲۶/۸۲	۲۶/۰۴	DSCAM
۱/۰۱	۱/۶۰	۰/۶۸	۲۷/۴۲	۲۸/۳۳	۲۶/۸۲	۲۷/۰۵	DYRK1A2
	۰/۹۴	-۰/۰۹	۲۷/۴۲	۲۷/۵۷	۲۸/۷۰	۲۸/۹۴	DSCAM
میانگین		$-\Delta \Delta C_t$	طبیعی		ناشناخته		نمونه طبیعی - ۱
۱/۰۳	۱/۰۸	۰/۱۱	۲۷/۴۲	۲۸/۳۳	۲۸/۷۰	۲۹/۵۰	DYRK1A2
	۱/۰۱	۰/۰۱	۲۷/۴۲	۲۷/۵۷	۲۳/۸۲	۲۳/۹۶	DSCAM
۰/۹۷	۱/۰۴	۰/۰۶	۲۷/۴۲	۲۸/۳۳	۲۳/۸۲	۲۴/۶۷	DYRK1A2
	۱/۰۵	۰/۰۷	۲۷/۴۲	۲۷/۵۷	۲۹/۷۴	۲۹/۸۲	DSCAM
میانگین		$-\Delta \Delta C_t$	طبیعی		ناشناخته		نمونه طبیعی - ۲
۰/۸۸	۰/۸۸	-۰/۱۸	۲۷/۴۲	۲۸/۳۳	۲۹/۷۴	۳۰/۸۳	DYRK1A2
			PMP22	هدف	PMP22	هدف	

جدول ۴ محاسبه میانگین نسبت ژنی همراه با انحراف از استاندارد (SD) در نمونه‌های جنینی طبیعی و مبتلا به نشانگان داون و آنالیز t-test

t-test	میانگین ± انحراف از استاندارد	تعداد	
P value= .۰۰۲	۱/۶۱ ± ۰/۰۹	۵	نمونه نشانگان داون
	۱/۰۳ ± ۰/۰۵	۲۹	نمونه طبیعی

RNA با قوی و پروتئیناز K، حذف RNA با Rnase و از بین بردن پروتئین بهوسیله رسوب دادن آن و سانتریفیوژ صورت می‌گیرد. کاربرد این روش برای تخلیص DNA از بافت جفت و مایع آمنیوتیک است ولی به علت حجم کم مایع آمنیوتیک در دسترس، استفاده از این روش نتایج مطلوبی نداشت [۱۴]. استخراج DNA از سلول با کیت MagNa Pure DNA Isolation (Roche) براساس لیز سلولی، غیرفعال کردن نوکلئازها، اتصال DNA به ذرات شیشه‌ای آهن‌ربا (Magnetic Glass Particle: MGP)، شستشوی DNA و رقیق‌سازی است. این روش نیز برای تخلیص DNA از بافت جفت و مایع آمنیوتیک به کار می‌رود و PCR بر نمونه‌های تخلیص شده نتیجه مطلوبی دارد، اما به علت حساسیت زیاد Real-Time PCR به کیفیت DNA به کار رفته در واکنش، با وجود غلظت مطلوب DNA تخلیص شده، استفاده از این روش مناسب نبود [۱۵]. برنامه استخراج DNA از خون و بافت با کیت DNP<sup>TM</sup> (سیناژن)، براساس لیز سلولی و سپس رسوب DNA است که در نهایت DNA نامحلول شسته شده و نمک‌زدایی می‌شود. استفاده از این کیت در تخلیص DNA از خون و بافت برای به دست آوردن کیفیت و کیمیت مطلوب DNA مؤثر بوده اما برای استخراج DNA از مایع آمنیوتیک نتیجه مطلوبی نداشت. تخلیص DNA با روش رسوب‌دهی با نمک، براساس لیز سلولی و رسوب DNA با نمک است. این روش برای استخراج DNA از خون، روش بسیار مفید و مؤثری بوده و برای استخراج DNA از مایع آمنیوتیک با حجم ۱۰ میلی لیتر نیز گزارش شده است [۱۶، ۱۷]؛ ولی استفاده از این روش در طرح حاضر به علت حجم کم نمونه‌های مایع آمنیوتیک نتیجه مطلوبی نداشت. در روش

#### ۴- بحث

در این مطالعه نمونه‌های جنینی مبتلا به نشانگان داون و طبیعی برای سنجش نسبت ژنی توسط روش Real-Time PCR با استفاده از ماده فلورسنت سایبرگرین I مطالعه شدند. ژن‌های DYRK1A2 و DSCAM مورد مطالعه در این تحقیق شامل ژن‌های هدف PMP22 واقع بر کروموزوم ۲۱ انسانی و ژن افراد بیمار سه کپسی (تریزومی) از کروموزوم ۲۱ و در افراد طبیعی دو کپسی (دیزومی) وجود دارد. بنابراین نسبت ژن‌های موجود بر کروموزوم ۲۱، ۱/۵ برابر افراد طبیعی است [۴]. در مطالعه حاضر، نسبت‌های به دست آمده برای ژن‌های فوق امکان تفکیک نمونه‌های بیماران مبتلا به نشانگان داون از گروه کنترل طبیعی را فراهم آورد و حضور سه نسخه از کروموزوم ۲۱ در گروه بیماران تأیید شد. این یافته با روش‌های استاندارد متداول شامل آنالیز کروموزومی سیتوژنتیک [کاریوتیپ (Karyotype)] مقایسه و نتایج حاصل تأیید شد.

به منظور بهینه‌سازی استخراج DNA از نمونه‌های مایع آمنیوتیک (Amniotic), روش‌های مختلف شامل روش جوشاندن، روش رسوب‌دهی با نمک دستورالعمل استخراج DNP<sup>TM</sup> (سیناژن)، DNA از خون و بافت با کیت DNA Isolation از سلول با دستورالعمل استخراج (Roche) Kit for cells and tissues MagNa Pure DNA Isolation از بافت با کیت‌های (Qiagen) QIAamp DNA Micro و (Roche) بررسی DNA Isolation از سلول با (Roche) Kit for cells and tissues شدند. روش استخراج DNA از سلول با براساس یکنواخت کردن نمونه، لیز سلولی در حضور دترژنت آئیونی

اعتماد نباشد. از طرفی هرچه در آزمایش‌ها C<sub>t</sub> کمتر باشد یعنی کارایی و عملکرد PCR بالاتر بوده، دقت نتایج به دست آمده بالاتر خواهد بود.

در مطالعه حاضر امکان تفکیک نمونه‌های جنینی مبتلا به نشانگان داون از نمونه‌های جنینی طبیعی تنها با استفاده از (Qiagen) QIAamp DNA Micro تخلیص شده توسط کیت (Qiagen) Real-Time PCR میسر شد. بنابراین با مقایسه نتایج به دست آمده از ارزیابی نمونه‌های تخلیص شده با نانودرآپ و انجام QIAamp DNA Micro بر نمونه‌های ذکر شده، استفاده از کیت (Qiagen) به عنوان روش قابل قبول برای تخلیص DNA از نمونه‌های مایع آمینویک برای تشخیص پیش از تولد با روش Real-Time PCR در نظر گرفته شد. این یافته در همانگی با نتایج مطالعه انجام شده توسط یونینگ ژو (Yu-ning Zhu) و همکارانش است که روی ۵۶۳ زن باردار در معرض خطر بیشتر ابتلای جنین به نشانگان داون و در کشور چین انجام شده و در آن از کیت (Qiagen, Germany) QIAamp mini (or midi) برای تخلیص DNA استفاده شده است که نتایج دقیق و قابل اعتمادی در تشخیص پیش از تولد تریزومی ۲۱ داشته است. در آن مطالعه از سیستم پروب‌های (Probes) نشاندار و واکنش‌های دوگانه به منظور تعیین کپسی اضافه کروموزم ۲۱ استفاده شده است [۱۷].

از سوی دیگر، در اکثر مطالعات انجام شده از ژن مرجع (Glyceraldehyde 3-Phosphate Dehydrogenase) GAPDH یا سایر ژن‌های خانه‌دار (Housekeeping) که بیشتر در مطالعات بیان ژنی به کار برده می‌شوند به عنوان ژن مرجع استفاده شده است [۲۰]. این ژن‌ها مناسب مطالعات ژنومی و سنجش میزان ژنی نیست. انتخاب ژن مرجع در مطالعات سنجش میزان ژنی اهمیت بسیاری دارد زیرا میزان ژن هدف نسبت به این ژن مقایسه و محاسبه می‌شود. بنابراین با استفاده این ژن مرجع همواره ثابت و به صورت دایزومی باشد. از این میزان ژن مرجع همواره ثابت و به صورت دایزومی باشد. از این رو در مطالعه انجام شده ژن PMP22 به عنوان ژن مرجع انتخاب شد. این ژن دارای ویژگی‌های لازم به عنوان ژن مرجع

جوشاندن، ترپسین بافت را سست کرده و جوشاندن سبب لیز سلولی می‌شود. این روش برای تخلیص DNA از بافت جفتی و مایع آمینویک و سپس انجام PCR استفاده می‌شود ولی کیفیت نامطلوب DNA تخلیص شده سبب به کاربردن این روش در این مطالعه شد. استخراج DNA با کیت (Qiagen) QIAamp DNA Micro اتصال DNA به ستون MinElute شستشو و رقیق شدن DNA با بافر (Adames-Evans Buffer) AE است. این کیت برای استخراج DNA از نمونه‌های با مقدادر کم کاربرد داشته و استفاده از آن در تخلیص DNA از نمونه‌های مایع آمینویک نتیجه کمی و کیفی مطلوبی داشت [۱۷].

در ارتباط با تشخیص مولکولی تریزومی ۲۱ با استفاده از روش Real-Time PCR مطالعات محدودی صورت گرفته است. در مطالعات انجام شده توسط برنارد زیمرمن (Bernhard Zimmermann) DNA برای تخلیص (Roche) High-pure PCR template از مایع آمینویک استفاده شده است [۱۸]، یالی هو (Yali Hu) و همکارانش، با استفاده از حجم ۱۰ میلی‌لیتری مایع آمینویک (Young Young) از روش رسوب‌دهی با نمک [۴] و یونگ هو یانگ (Wizard genomic DNA Ho Yang) و همکارانش از کیت (Promega) purification از مایع آمینویک استفاده کرده‌اند [۱۹]. در این مطالعه، زمانی که DNA به دست آمده از روش‌های مختلف با غاظتهاي یکسان مورد استفاده قرار گرفتند، نتایج Real-Time PCR آن‌ها تفاوت واضحی را نشان داد. این موضوع ناشی از کیفیت DNA تخلیص شده بوده و نشانگر خرد شدن DNA و افت کیفیت آن در اکثر روش‌های فوق است. اگرچه DNA با کیفیت متوسط و پایین می‌تواند در اکثر روش‌های مولکولی قدیمی‌تر مانند PCR معمولی و سایر روش‌های مبتنی بر آن به کار گرفته شود ولی ناهمگون بودن DNA وجود درصد بالایی از ناخالصی و عوامل مهارکننده PCR باعث می‌شود که نتایج روش حساس Real-Time PCR قابل تکرار و قابل

سیتوژنتیک متداول، برای تشخیص پیش از تولد نشانگان داون و سایر ناهنجاری‌های کروموزومی پیشنهاد می‌شود. اگرچه مطالعات گستردتری برای تأیید حساسیت و ویژگی این روش بهمنظور کاربردهای بالینی لازم است.

## ۵- تشكر و قدردانی

نویسنده‌گان مراتب تشكر و قدردانی خود را نسبت به کلیه خانم‌های باردار و خانواده‌های محترم آن‌ها و نیز تمامی همکاران بخش پژوهشکی مولکولی انسیتو پاستور ایران و مرکز آمنیوسترز بیمارستان الزهراء تبریز اعلام می‌دارند. این طرح با پشتیبانی مالی انسیتو پاستور ایران (طرح شماره ۴۱۷) انجام شد.

است: نخست آن‌که، فاقد ژن‌های کاذب (Pseudogenes) بوده و از سوی دیگر، هرگونه تغییر در میزان ژنی (حذف یا اضافه شدن یا جهش‌های نقطه‌ای) در یک نسخه از آنل‌های این ژن به صورت فنوتیپ بیماری مشاهده می‌شود و نیازی به آزمایش‌های ژنتیک مولکولی برای این ژن بهمنظور شناسایی افراد طبیعی نیست. حذف در ژن PMP22 منجر به بیماری HNPP (Hereditary Neuropathy with liability to Pressure Palsies) و مضاعف شدن ژن منجر به بیماری شارکوت-ماری توٹ (Charcot marie tooth) می‌شود.

در مجموع، با توجه به نتایج حاصل از این مطالعه و مطالعات انجام شده قبلی، روش Real-Time PCR به عنوان روش مولکولی سریع و دقیق در کنار سایر روش‌های

## ۶- منابع

- [1] Basu S, Pooniya V, Kumar A, Das BK. Down syndrome with cerebral arteriovenous malformation. Ann Trop Paediatr 2009; 29(1): 61-5.
- [2] Visootsak J, Sherman S. Neuropsychiatric and behavioral aspects of trisomy 21. Curr Psychiatry Rep 2007; 9(2): 135-40.
- [3] Mysłek-Prucnal M, Sadowska L, Grunau-Ozarowska A. [The diagnostics and developmental stimulation of small children with 21 trisomy in compliance with thyroid function]. Endokrynol Diabetol Chor Przemiany Materii Wiekowej 2008; 14(4): 243-7.
- [4] Hu Y, Zheng M, Xu Z, Wang X, Cui H. Quantitative real-time PCR technique for rapid prenatal diagnosis of Down syndrome. Prenat Diagn 2004; 24(9): 704-7.
- [5] Eiben B, Glaubitz R. First-trimester screening: an overview. J Histochem Cytochem 2005; 53(3): 281-3.
- [6] Lee MH, Ryu HM, Kim DJ, Lee BY, Cho EH, Yang JH, Kim MY, Han JY, Park SY. Rapid prenatal diagnosis of Down Syndrome using quantitative fluorescent PCR in uncultured amniocytes. J Korean Med Sci 2004; 19(3): 341-4.
- [7] Acar H, Yildirim MS, Kaynak M. Reliability and efficiency of interphase-fish with alpha-satellite probe for detection of aneuploidy. Genet Couns 2002; 13(1): 11-7.
- [8] Tsujie T, Takemura M, Kimura T, Shimoya K, Tsutsui T, Ogita K, Ozaki M, Murata Y. Rapid detection of trisomy 21 by gene dosage analysis using quantitative real-time polymerase chain reaction. J Obstet Gynaecol Res 2006; 32(4): 368-72.
- [9] Dudarewicz L, Holzgreve W, Jezirowska A, Jakubowski L, Zimmermann B. Molecular methods for rapid detection of aneuploidy. J Appl Genet 2005; 46(2): 207-15.

- [10] Ruiz-Ponte C, Carracedo A, Barros F. Duplication and deletion analysis by fluorescent real-time PCR-based genotyping. *Clin Chim Acta* 2006; 363(1-2): 138-46.
- [11] Vaerman JL, Saussoy P, Ingargiola I. Evaluation of real-time PCR data. *J Biol Regul Homeost Agents* 2004; 18(2): 212-4.
- [12] Livak KJ, Schmittgen TD. Analysis of relative gene expression data using real-time quantitative PCR and the 2(-Delta Delta C(T)) Method. *Methods* 2001; 25(4): 402-8.
- [13] Hansen TV, Simonsen MK, Nielsen FC, Hundrup YA. Collection of blood, saliva, and buccal cell samples in a pilot study on the Danish nurse cohort: comparison of the response rate and quality of genomic DNA. *Cancer Epidemiol Biomarkers Prev* 2007; 16(10): 2072-6.
- [14] Lahiri DK, Schnabel B. DNA isolation by a rapid method from human blood samples: effects of MgCl<sub>2</sub>, EDTA, storage time, and temperature on DNA yield and quality. *Biochem Genet* 1993; 31(7-8): 321-8.
- [15] Kirchgesser M, Schlagenhauf R, Kirchner B, Adem C, Malmberg W, Tgetgel A, Huber I, Nieswandt V, Walter T. The New MagNA Pure Compact Nucleic Acid Isolation Kits – Fast and Flexible Fully Automated Sample Preparation. *Biochemica* 2003; No. 4: 12-4.
- [16] Miller SA, Dykes DD, Polesky HF. A simple salting out procedure for extracting DNA from human nucleated cells. *Nucleic Acids Res* 1988; 16(3): 1215.
- [17] Zhu YN, Lu SM, You JF, Zhu B, Yu MY. Novel real-time PCR assay for rapid prenatal diagnosis of Down syndrome: a prospective study of 563 amniocytes. *Clin Biochem* 2009; 42(7-8): 672-5.
- [18] Zimmermann B, Levett L, Holzgreve W, Hahn S. Use of real-time polymerase chain reaction for the detection of fetal aneuploidies. *Methods Mol Biol* 2006; 336: 83-100.
- [19] Yang YH, Nam MS, Yang ES. Rapid prenatal diagnosis of trisomy 21 by real-time quantitative polymerase chain reaction with amplification of small tandem repeats and S100B in chromosome 21. *Yonsei Med J* 2005; 46(2): 193-7.
- [20] Bustin SA. Absolute quantification of mRNA using real-time reverse transcription polymerase chain reaction assays. *J Mol Endocrinol* 2000; 25(2): 169-93.